

چینه‌نگاری زیستی نهشته‌های الیگوسن و میوسن زیرین (سازندهای پابده، آسماری و گچساران) براساس روزنبران در جنوب غرب شهرستان قیر، استان فارس

نوشا نوروزی^(۱)، جهانبخش دانشیان^(۲)، داریوش باغبانی^(۳) و سید علی آقانباتی^(۴)

۱. دانشجوی دوره دکترای گروه زمین‌شناسی، واحد علوم و تحقیقات تهران، دانشگاه آزاد اسلامی، تهران

۲. دانشیار گروه زمین‌شناسی، دانشکده علوم، دانشگاه خوارزمی، تهران

۳. مدیریت اکتشاف شرکت ملی نفت ایران

۴. استادیار سازمان زمین‌شناسی و اکتشافات معدنی کشور

تاریخ دریافت: ۹۱/۱۲/۲۳

تاریخ پذیرش: ۹۳/۳/۶

چکیده

رسوبات الیگوسن - میوسن زیرین در زاگرس شامل چندین سازند با تغییرات لیتوژئی و تنوع فسیلی می‌باشد. به منظور مطالعه دقیق تر این سازندها و شناسایی دقیق مرز بین سازندها در محدوده مورد مطالعه، برش چاه هالگان در جنوب غرب شهرستان قیر مطالعه شد و تعداد ۱۴۴ مقطع نازک مورد بررسی قرار گرفت. نهشته‌های الیگوسن - میوسن زیرین در چاه هالگان با ضخامت ۱۴۴ متر شامل سنگ آهک‌های رسی به همراه دولومیت، سنگ آهک با میان لایه‌های مارن و ریس در قالب سازندهای پابده، آسماری و گچساران رخنمون دارند. رسوبات سازند پابده مربوط به بخش فوقانی آن محتوی روزنبران پلانکتونیک به سن الیگوسن پیشین (Rupelian) می‌باشند که به شکل پیوسته و تدریجی روی رسوبات تحتانی سازند پابده به سن اثوسن پسین می‌نشینند. مرز بالایی سازند پابده با رسوبات سازند آسماری نیز پیوسته می‌باشد. در برش چاه هالگان سازند آسماری طبق تعریف توماس (Thomas, 1948) از آسماری زیرین (الیگوسن) و آسماری میانی (آکیتانی) تشکیل شده است. مرز بالایی سازند آسماری با سازند گچساران ناپیوسته و هم‌ساز می‌باشد. با مطالعه فسیل شناسی رسوبات الیگوسن - میوسن زیرین چاه هالگان، تعداد ۳۲ جنس و ۴۸ گونه از روزنبران کفازی و ۱۳ جنس و ۲۱ گونه روزنبران پلانکتونیک شناسایی و ۵ بیوزون معرفی شد که قابل انطباق با بیوزون‌های شماره ۵۵، ۵۶، ۵۷، ۵۹ و ۶۳ وايند (Wynd, 1965) می‌باشد که از رسوبات قدیمی‌تر به جدیدتر شامل:

- 1- small *Globigerina* spp. assemblage zone (no.55)
- 2- *Lepidocyclus* - *Operculina* - *Ditrupa* assemblage zone (no.56)
- 3- *Nummulites intermedius* - *Nummulites vascus* assemblage zone (no.57)
- 4- *Astrotrillina asmariensis* - *Peneroplis evolutus* assemblage zone (no.59)
- 5- *Rotalia* - *Elphidium* assemblage zone (no.63)

می‌باشد.

واژه‌های کلیدی: روزنبران، چینه‌نگاری زیستی، الیگوسن - میوسن زیرین، فارس.

مقدمه

در زاگرس، در مرز تقریبی ائوسن - الیگومن، شواهدی از جنبش‌های زمین‌ساختی فشارشی وجود دارد که با رخداد زمین‌ساختی پیرنئن (حدود ۳۷ میلیون سال پیش) در دیگر نقاط جهان قابل قیاس است. از جمله این پیامدها در زاگرس خروج نواحی سکوئی فارس در ائوسن میانی و خاتمه چرخه رسوبی جهرم می‌باشد که این خروج تا پیش روی بعدی دریا در الیگومن پسین ادامه داشته است. در حالیکه در ناووهای لنگه و خوزستان رسوبگذاری سازند پابده ادامه داشته است. ابتدا چرخه آسماری با رسوبگذاری رسوبات عمیق آغاز و به تدریج آهک‌های از نوع وکستون رسوب می‌نماید و کم با ظهور روزنبران بزرگ‌تر، آهک‌ها تبدیل به پکستون می‌شود و جای خود را به جلبک‌ها داده و کم عمق‌تر می‌شوند و بالاخره با پیدایش شرایط مردابی، رسوبات حاوی میلیولید شدن (مطبعی، ۱۳۷۲).

به منظور مطالعه دقیق‌تر و تفکیک مرز سازندهای پابده، آسماری و گچساران، شناسایی جنس‌ها و گونه‌های روزنبران کفزی و پلانکتونیک نهشته‌های الیگومن - میوسن پیشین و تعیین سن دقیق هر کدام، برش چاه هالگان در کمربند زاگرس چین خورده انتخاب شد. برش الگوی سازند پابده در تنگ پابده کوه گوربی واقع در شمال میدان نقی لالی توسط James and Wynd (1965) ارائه شده است و شامل رسوبات رسی عمدتاً حاوی روزنبران پلانکتونیک است. با مقایسه مختصات برش الگو و مختصات برش چاه هالگان، فاصله این دو برش بیش از ۴۰ کیلومتر می‌باشد. فاصله برش الگوی سازند آسماری تا برش چاه هالگان بیش از ۵۰۰ کیلومتر و فاصله برش الگوی سازند گچساران تا برش چاه هالگان حدوداً ۲۰۰ کیلومتر می‌باشد.

پیشینه مطالعات

James and Wynd (1965) برای اولین بار در تنگ پابده کوه گوربی، سازند پابده را اندازه‌گیری کردند. این سازند سپس توسط Adams (1969) و Wells (1967) مورد بررسی مجدد قرار گرفت. در نهایت Setudehnia (1972) مختصات این سازند را تصویح و ارائه کرد.

تاکنون زمین‌شناسان زیادی روی سازند آسماری مطالعه نمودند. از جمله

Busk and Mayo, 1919; Richardson, 1924; Reichel, 1937; Clapp, 1940; Furon, 1941; Thomas, 1948; James and Wynd, 1965; Wynd, 1965; Adams and Bourgeois, 1967; Kalantari, 1981; Seyrafian, 1981; Jalali, 1987; Seyrafian et al., 1996; Hamedani et al., 1997; Seyrafian and Hamedani, 1998; (۱۳۸۶) و Ehrenberg et al., 2007 و Laursen et al., 2009.

سازند گچساران نیز اولین بار توسط پیلگریم (Pilgrim 1908) مورد مطالعه قرار گرفت. سپس زمین‌شناسان دیگری (مانند Richardson, 1924; Watson, 1960; James and Wynd, 1965;

Setudehnia, 1972; Favre, 1975) این سازند را مورد بررسی قراردادند. طبق‌بندی امروزی بخش‌های چهل، چمپه و مول در سازند گچساران بر اساس مطالعات جیمز و وایند انجام شده است.

موقعیت جغرافیایی

چاه هالگان در جنوب شرقی شیراز با مختصات جغرافیایی "۲۸° ۰' ۴" عرض شمالی و "۵۲° ۳۸' ۲۲" طول شرقی قرار گرفته است. چاه هالگان تقریباً در ۱۷۰ کیلومتری جنوب شرقی شیراز و در ۱۰ کیلومتری جنوب‌غربی شهرستان قیر قراردارد (شکل ۱).

روش مطالعه

۴۱ نمونه سخت از نهشته‌های الیگومن و میوسن پیشین به منظور مطالعه محتويات فسیلی به ویژه روزنبران مورد بررسی قرار گرفتند. نمونه‌برداری به صورت سیستماتیک و با فاصله تقریبی هر ۱ متر یک نمونه توسط کارشناسان شرکت ملی نفت انجام پذیرفت. از نمونه‌های سخت مقاطع نازک تهیه شده و شناسایی شدند. همچنین بر اساس خواص سنگ‌شناسی و فسیل‌شناسی مرز بیوزون‌ها و سازندها (آشکوب‌ها و بخش‌ها) تصحیح و تفکیک گردید و جداول گسترش چینه‌شناسی و پراکنده‌گی میکروفسیل‌ها ترسیم گردید. در نهایت با بیوزون‌های (1965) Adams و Wynd (1967) and Bourgeois (1967) انطباق داده شد.

چینه‌نگاری سنگی برش چاه هالگان

در چاه هالگان رسوبات الیگومن - میوسن زیرین با ضخامت ۴۱ متر شامل سنگ آهک‌های رسی به همراه دولومیت، سنگ آهک با میان لایه‌های مارن و ژیپس در قالب سازندهای پابده، آسماری و گچساران رخنمون دارد.

توالی رسوبی سازند پابده در چاه هالگان از ائوسن بالایی تا الیگومن زیرین به صورت پیوسته ادامه دارد. نهشته‌های الیگومن - میوسن زیرین از پایین به بالا به شرح زیر است:

- سازند پابده در برش چاه هالگان شامل ۳۲۰ متر سنگ آهک و سنگ آهک‌های رسی دار با میان لایه‌های مارن می‌باشد که ۹۲ متر از این سازند به سن الیگومن پیشین می‌باشد. این سازند که واحد روزنبران پلانکتونیک فراوان به همراه روزنبران بتیک است، دارای بافت پکستون می‌باشد.

- سازند آسماری از ۱۶۹ متر سنگ آهک‌های رسی با میان لایه‌های دولومیت تشکیل شده است. ۵۵ متر بالای این سازند در برش چاه هالگان از دولومیت‌های ضخیم لایه تشکیل شده است. در این برش سازند آسماری طبق تعریف Thomas (1948) از آسماری زیرین (الیگومن) و آسماری میانی (آکیتانی) تشکیل شده است.

بر اساس گسترش روزنبران پلانکتونیک و بتیونیک، مرز زیرین سازند آسماری با سازند پابده تاریخی و پیوسته است و مرز بالائی آن با سازند گچساران ناپیوسته و همساز می‌باشد.

- سازند گچساران از ۱۵۳ متر شامل سنگ‌های آهکی ضخیم



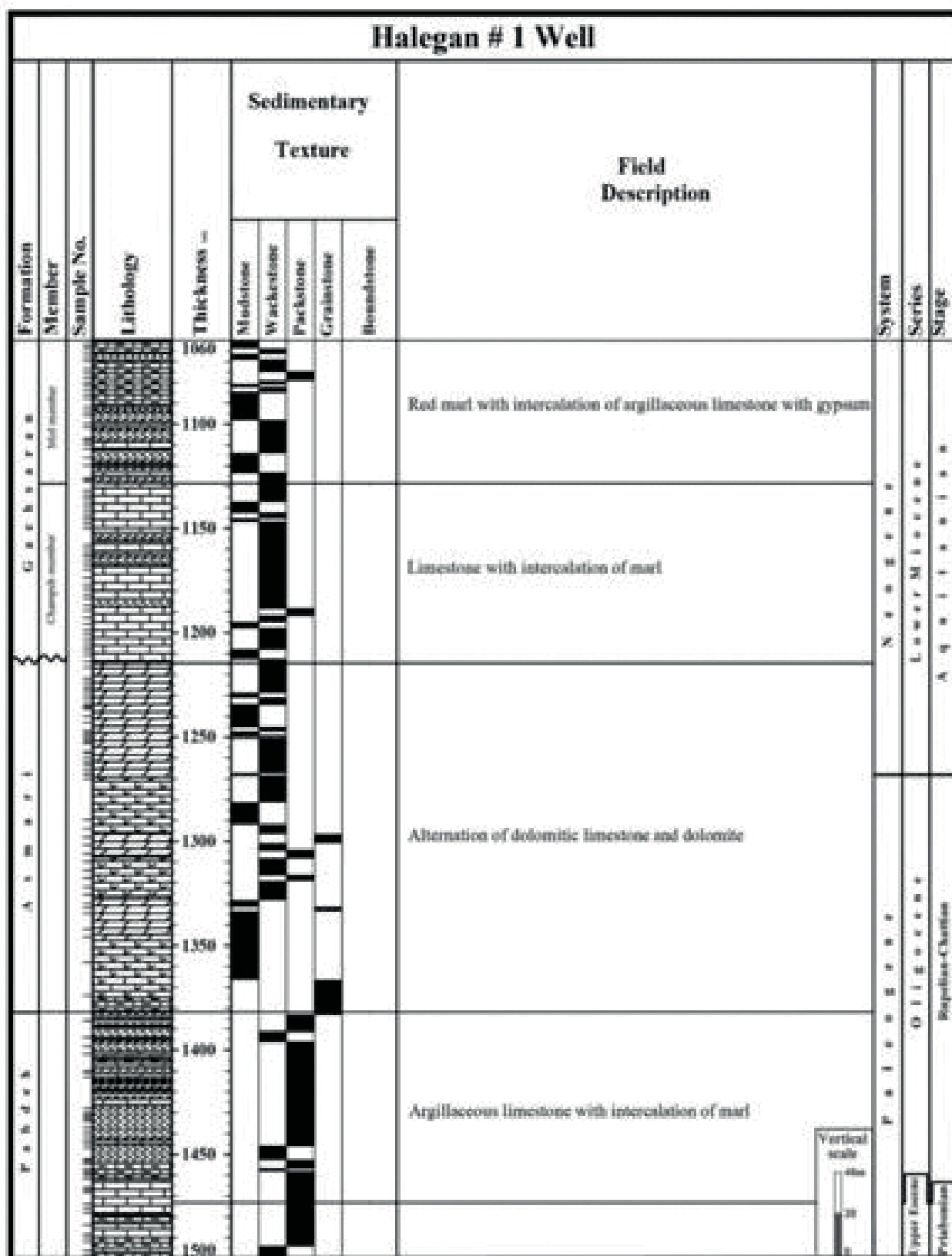
شکل ۱. موقعیت جغرافیایی و راههای دسترسی به برش مورد مطالعه (اطلس راههای ایران، ۱۳۸۶).

میوسن زیرین برش چاه هالگان ۵ بیوزون معرفی شده است که قابل انطباق با بیوزون‌های شماره ۵۵، ۵۶، ۵۷ و ۵۹ و ۶۳ وایند می‌باشد. جدول ۱ خواص زیست‌چینهای الیگوسن – میوسن در حوضه زاگرس توسط (1967) Adams and Bourgeois و (2009) Laursen et al. را نشان می‌دهد.

نهشته‌های الیگوسن – میوسن در چاه هالگان شامل سازندهای پابده، آسماری و گچساران می‌شود. نهشته‌های سازند پابده در این چاه مربوط به ائوسن زیرین تا الیگوسن زیرین است. سازند آسماری شامل آسماری زیرین (الیگوسن) و آسماری میانی (آکیتانین) است. نهشته‌های سازند گچساران نیز میوسن زیرین می‌باشد. بیوزون‌های شناسایی شده در برش چاه هالگان به ترتیب

لایه و مارن‌های قرمز و خاکستری پرفسیل است. سازند گچساران در برش چاه هالگان دارای بخش‌های چمپه و مول است. ۸۷ متر ابتدایی سازند گچساران در این برش از سنگ آهک با میان لایه‌هایی از مارن تشکیل شده که از نظر خصوصیات سنگ‌شناسی معرف بخش چمپه از سازند گچساران می‌باشد. ۶۶ متر باقیمانده از سازند گچساران شامل مارن‌های قرمز با میان لایه‌هایی از سنگ آهک رس دار به همراه ریپس می‌باشد که خصوصیات لیتولوژیکی این بخش نیز معادل بخش مول از سازند گچساران است (شکل ۲)

زیست‌چینه‌نگاری برش چاه هالگان
بر اساس فسیل‌های به دست آمده از رسوبات الیگوسن –



شکل ۲. ستون چینه‌نگاری سنگی در چاه شماره یک هالگان

جدول ۱- بیوزوناسیون‌های ارائه شده برای رسوبات الیگومن - میوسن به خصوص سازند آسماری در حوضه زاگرس توسط Adams and Wynd (1965) و Laursen et al. (2009) و Bourgeois (1967)

سن	واحد سنگی	زون زیستی وايند	زون زیستی آدامز و بورژوا	زون زیستی لارسن و همکاران
میوسن پیشین	گچساران و رازک	63- <i>Rotalia, Nonion</i> and locally- Charophyte assemblage zone	1- <i>Borelis melo</i> group- <i>Melandropsina iranica</i> Assemblage Zone	<i>Borelis melo curdica-</i> <i>Borelis melo melo</i> assemblage zone
میوسن پیشین (بوردیگالین)	حد پایین گچساران و رازک	62- <i>Borelis melo curdica</i> zone		
میوسن پیشین (بوردیگالین)	آسماری بالای	61- <i>Borelis melo curdica</i> zone		
میوسن پیشین (آکیتانین)	پایین ترین بخش سازند گچساران	60- <i>Astrotrillina howchini- Peneroplis evolutus</i> assemblage zone	2a- <i>Elphidium sp.14- Miogypsina</i> Assemblage Subzone	<i>Miogypsina- Elphidium sp.14- Peneroplis farsensis</i> assemblage zone
میوسن پیشین (آکیتانین)	آسماری میانی	59- <i>Astrotrillina howchini- Peneroplis evolutus</i> assemblage zone		
الیگومن	آسماری زیرین	58- <i>Archaias operculiniformis</i> zone	2- <i>Miogypsinoidea-Archaias-Valvulinid</i> Assemblage Zone	Archaias asmaricus-, Archaias hensonii -Miogypsinoides complanatus assemblage zone
الیگومن	آسماری زیرین	57- <i>Nummulites intermedius- Nummulites vascus</i> assemblage zone		
الیگومن	پایین ترین بخش سازند آسماری	56- <i>Lepidocyclina- Operculina- Ditrupa</i> assemblage zone		
الیگومن	بالاترین حد سازند پابده	55- <i>Globigerina</i> spp. assemblage zone	3- <i>Eulepidina- Nephrolepidina-Nummulites</i> Assemblage Zone	<i>Nummulites intermedius- Nummulites vascus</i> assemblage zone
الیگومن	بالاترین حد سازند پابده	54- <i>small Globigerinoides- Haplophragmium slingeri- Zeavigerina</i> assemblage zone		

Nummulites intermedius – Nummulites vascus assemblage zone.

Age: Oligocene

این بیوزون، ۸۸ متر از برش چاه هالگان را در بر می‌گیرد و منطبق بر بیوزون ۵۷ وایند می‌باشد. مرز زیرین این بیوزون *Nummulites vascus*, *Nummulites inter-* با ظهر و فراوانی *Operculina complanata* و *Operculina complanata medius-fichteli* در عمق ۱۳۸۲ متری و مرز بالای آن با انقراض این گونه‌ها در عمق ۱۲۹۴ متری مشخص می‌شود. فرامینیفرای همراه این بیوزون عبارتند از :

Operculina complanata, *Eulepidina* sp., *Triloculina trigonula*, *Lepidocyclina* sp., *Spiroclypeous blankenhorni*, *Neorotalia viennotti*, *Operculina* sp., *Astergerina* sp., *Elphidiums* sp. 1, *Amphistegina* sp., *Peneroplis* sp., *Dendritina rangi*.

همچنین سایر فسیل‌های این بیوزون شامل:

Echinoderm debris, *Bryzoa debris*, *Algae debris*, *Gastropod debris*, *Ostracod debris*, *Tubucellaria* sp.

می‌شود.

Astrotrillina asmariensis - Peneroplis evolutus assemblage zone

Age: Early Miocene (Aquitian)

این بیوزون، ۳۸ متر از برش چاه هالگان را به خود اختصاص داده است و منطبق بر بیوزون شماره ۵۹ وایند است. مرز زیرین این بیوزون با انقراض گونه‌های *Nummulites* و *Eulepidina* در عمق ۱۲۶۸ متری قرار دارد. مرز بالای این بیوزون با ناپدید شدن *Peneroplis evolutus* و *Astrotrillina asmariensis* در عمق ۱۲۳۰ متری مشخص می‌شود.

فسیل‌های همراه این بیوزون عبارتند از :

Peneroplis thomasi, *Astrotrillina howchini*, *Meandropsina anahensis*, *Dendritina rangi*, *Meandropsina iranica*, *Spirolina* sp., *Archaias* sp., *Pyrgo* sp., *Schlumbergerina* sp., *Meandropsina* sp., *Miliola* sp., *Reussela* sp., *Rotalia* sp., *Quinqueliculina* sp., *Globigerinoides* sp.

Rotalia – Elphidium assemblage zone.

Age: Aquitanian – Burdigalian

این بیوزون، ۱۵۲ متر از برش چاه هالگان را احاطه کرده است و از نمونه ۱۲۱۲ تا ۱۰۶۰ ادامه دارد و منطبق بر بیوزون ۶۳ وایند است.

فسیل‌های همراه این بیوزون عبارتند از (شکل‌های ۳ و ۴)

Ammonia beccari, *Neorotalia viennotti*, *Rotalia* sp., *Triloculina* sp., *Discorbis* sp., *Quinqueliculina* sp., *Meandropsina iranica*, *Meandropsina anahensis*, *Glomospira* sp., *Pyrgo* sp., *Spirolina* sp., *Schlumbergerina* sp., *Dendritina rangi*, *Triloculina trigonula*, *Elphidium* sp.1, *Glo-*

از قاعده به راس به شرح زیر می‌باشد:

Globigerina spp. assemblage zone

Age: Oligocene

این بیوزون منطبق بر بیوزون شماره ۵۵ وایند و ۴ آدامز و بورژوا می‌باشد و ۱۷ متر از ستون چینه‌شناسی چاه هالگان را در بر می‌گیرد. مرز زیرین این بیوزون با ناپدید شدن جنس و گونه‌های *Hantkenina*, *Turborotalia cer-* *roazulensis* مشخص می‌شود و مرز بالای آن که با جنس‌های *Nummuliter vascus* – *Nummulites intermeadius-fichteli* قابل تشخیص است و از عمق ۱۴۷۴ متری شروع و تا عمق ۱۴۵۷ متری چاه ادامه می‌یابد. فسیل‌های همراه این بیوزون عبارتند از :

Globoturbototalia angulisuturalis, *Globoturborotalia ciperoensis*, *Turborotalia ampliapertura*, *Pseudohastigerina micra*, *Cassigerinella chipolensis*, *Catapsydrax dissimilis*, *Globigerinoides venezuelana*, *Paragloboratalia siakensis*, *Eouvigerina* sp., *Baculogypsinoides* sp., *Eponides* sp., *Textularia* sp., *Rotalia* sp.

این بیوزون هم‌ارز بیوزون / *Globigerina ampliapertura Bolli* و *Pseudohastigerina micra* (1957), *Bolli* & *Bermudez* (1965), *Bolli* & *Permoli Silva* (1973) و همچنین بیوزون *Postuma* (1969) و (1971) می‌باشد.

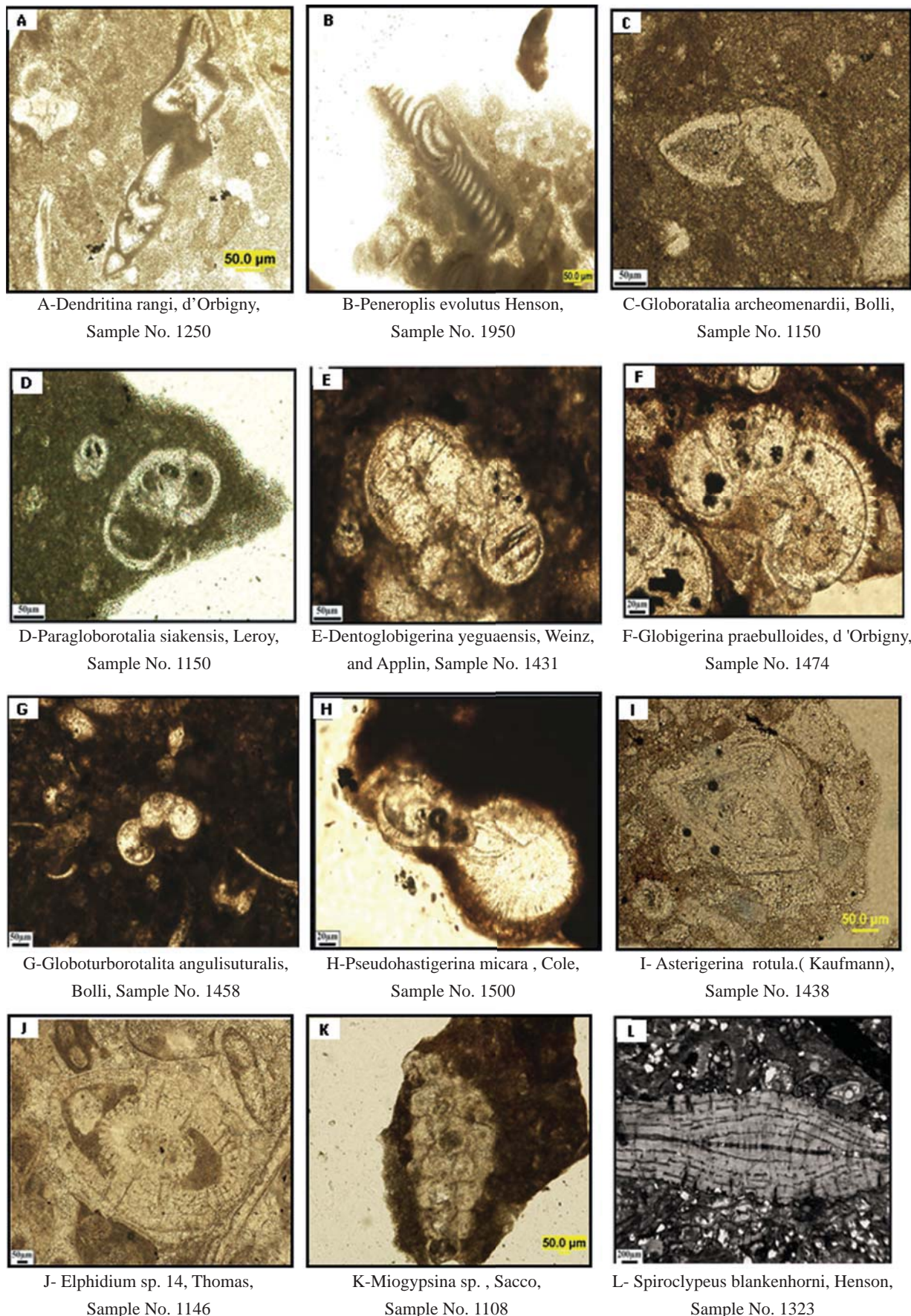
Lepidocyclina – Operculina – Ditrupa assemblage zone.

Age: Oligocene

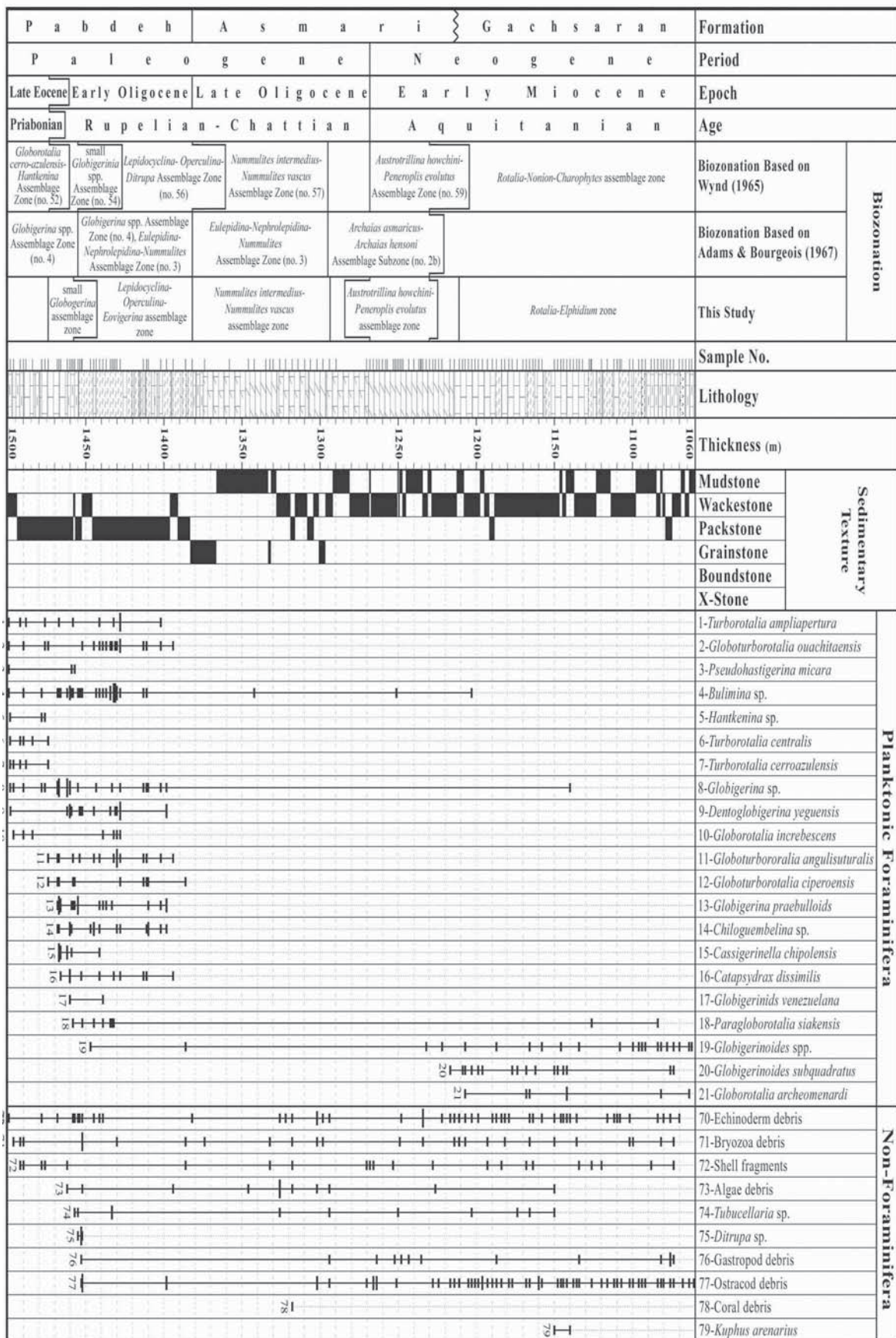
این بیوزون معادل بیوزون ۵۶ وایند می‌باشد و ۷۵ متر از برش چاه هالگان را به خود اختصاص داده است. این بیوزون با ظهر فسیل‌هایی از جمله *Operculina* و *Eulepidina culina* در عمق ۱۴۵۷ متری مشخص می‌شود. مرز بالای این بیوزون با ظهر فسیل *Nummulites vascus* در عمق ۱۳۸۲ متری *intermedius/fichteli* همراه این بیوزون عبارتند از :

Eulepidina elephantina, *Eulepidina dilatata*, *Operculina complanata*, *Astergerina rotula*, *Neorotalia viennotti*, *Eouvigerina khuzistanica*, *Eouvigerina* sp., *Operculina* sp., *Planorbulina* sp., *Bigenerina* sp., *Heterostegina* sp., *Ditrupa* sp., *Turborotalia ampliapertura*, *Globoturborotalia ouachitaensis*, *Globoturborotalia angulisuturalis*, *Dentoglobigerina yeguensis*, *Globorotalia increbescens*, *Globorotalia ciperoensis*, *Globigerina praebulloides*, *Cassigerinella chipolensis*

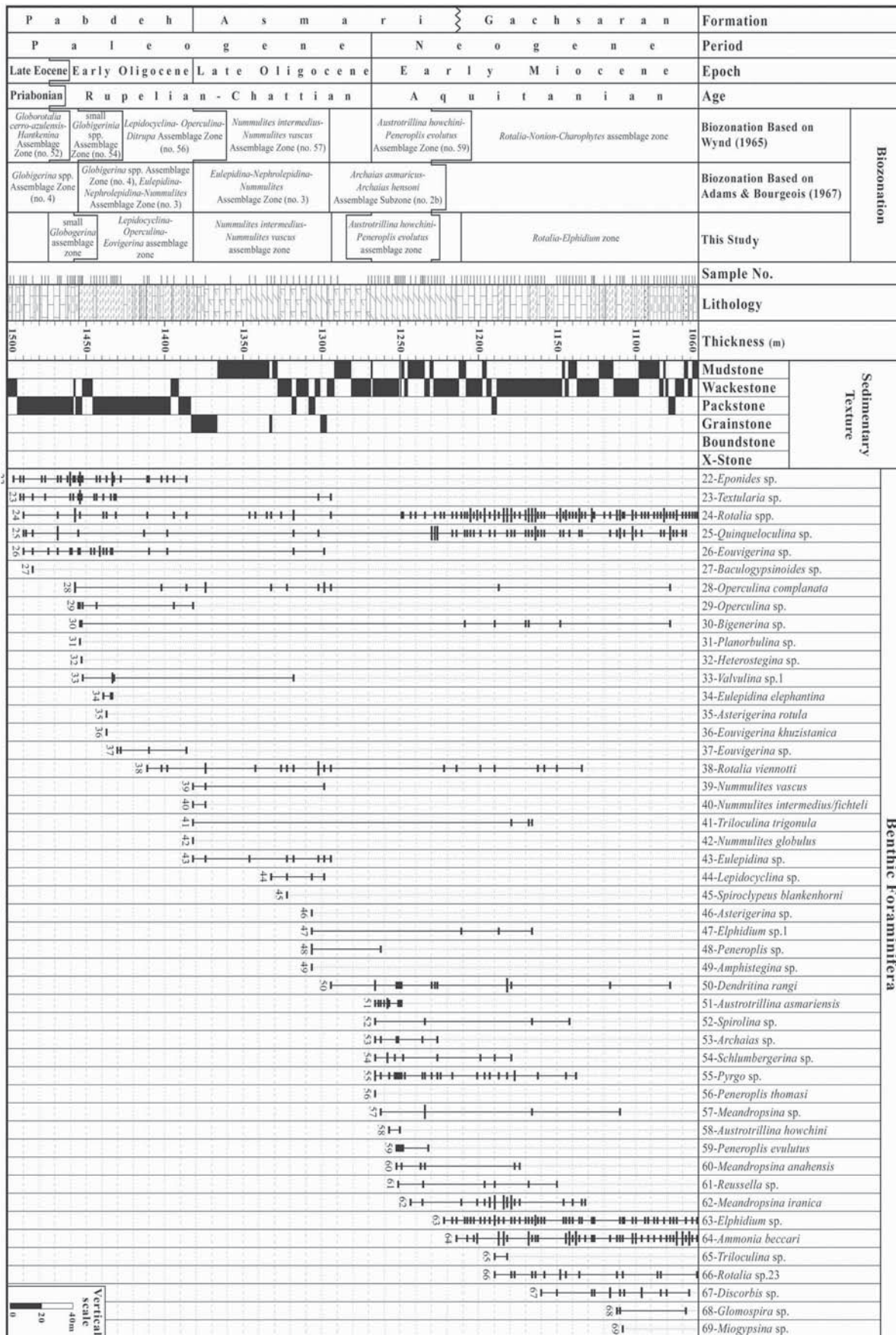
می‌باشد. این بیوزون حالت Mix facies را دارد و رخساره‌های آن به دلیل داشتن فرامینیفرای پلانکتونیک فراوان مربوط به سازند پایده است (تابلو ۱).



تabelo ۱- روزن بران شاخص شناسایی شده در برش چاه هالگان



شکل ۲. گسترش چینه‌شناسی فرامینیفرا پلانکتونیک و غیرفرامینیفرا در چاه شماره یک هالگان



شکا، ۴. گسترش حینه‌شناسی فرمیتفرا بنتک در چاه شماره یک هالگان

Genus: *TRILOCULINA* d' Orbigny, 1826

Species: *Triloculina trigonula* (Lamarck)

1804 *Miliolitea trigonula* Lamarck; p. 351, pl. 17, fig. 4.

1917 *Triloculina trigonula* (Lamarck); Cushman, p. 650.

1967 *Triloculina trigonula* (Lamarck); Adams & Bourgeois, p. 18, pl. 1, fig. 4.

2004 *Triloculina trigonula* (Lamarck); Daneshian & Deziani, p. 4577, pl. 3, fig. 1.

Family: AUSTROTRILLINIDAE Loblish and Toppan, 1986

Genus: AUSTROTRILLINA Parr, 1942

Species: *Astrotrillina asmariensis* (Schlumberger)

1893 *Trilina howchini* Schlumberger, p. 119, fig. 1, pl. 3, fig. 6.

1967 *Astrotrillina asmariensis* (Schlumberger); Adams & Bourgeois, pl. 1, figs. 8-9.

1968 *Astrotrillina howchini* (Schlumberger); Adams, p. 86, pl. 2, figs. 1-7.

1986 *Astrotrillina* (Schlumberger); Kalantari, p. 281, pl. 135, fig. 27, pl. 6, figs. 1-5, 7.

Family: PENEROPLIDAe Schultze, 1854

Genus: DENDRITINA d'Orbigny, 1826

Species: *Dendritina rangi* d'Orbigny emend. Fornasini, 1904

1904 *Dendritina rangi* d'Orbigny emend. Fornasini, p. 6, pl. 1, fig. 13.

1950 *Dendritina* sp. cf. D. *rangi* d'Orbigny; Henson, p. 31, pl. 5, fig. 2; pl. 6, figs. 2, 3; pl. 10, fig. 3.

1967 *Dendritina* sp. cf. D. *rangi* d'Orbigny; Adams & Bourgeois, p. 20, pl. 2, figs. 2, 3.

2004 *Dendritina* sp. cf. D. *rangi* d'Orbigny; Daneshian & Daziani, p. 4578, pl. 3, fig. 5.

Genus: PENEROPLIS de Montfort, 1808

Species: *Peneroplis evolutus* Henson, 1950

1950 *Peneroplis evolutus* Henson, p. 37, pl. 15, figs. 12, 13, 14, pl. 6, fig. 1, pl. 10, figs. 2, 6, 8, 11.

1967 *Peneroplis evolutus* Henson; Adams & Bourgeois, p. 20.

1986 *Peneroplis evolutus* Henson; Kalantari, p. 232, fig. 99.

2004 *Peneroplis evolutus* Henson; Daneshian & Deziani, p. 4578, pl. 3, fig. 6.

bigerinoides subquadratus, *Globorotalia archeomenardii*, *Echinoderm debris*, *Bryozoa debris*, *Algae debris*, *Tubucellaria* sp., *Gastrapod debris*, *Ostracod debris*, *Ditrupa* sp.

مقایسه نتایج فسیل‌شناسی (Laursen, et al. 2009) با مطالعات در چاه هالگان و Ehrenberg et al. (2007)

نتایج فسیل‌شناسی (Laursen, et al. 2009) بر اساس مطالعات ایزوتوپ استرانسیم در مقایسه با مطالعات انجام شده در چاه هالگان مغایرت‌هایی دارد. به طور مثال لارسن و همکاران و اهرنبرگ و همکاران بیوزونی با نام *Globigerina* - *Turborotalia cerroazulensis* - *Hantkenina assemblage zone* را به سن الیگوسن پیشین معرفی کردند. این در حالی است که جنس و گونه‌های میکروفسیل *Turborotalia cerroazulensis* - *Hantkenina* در چاه هالگان نهایتاً تا سن ائوسن پسین دیده شده است و به هیچ وجه تا سن الیگوسن ادامه ندارد. بر اساس مطالعات لارسن و همکاران و اهرنبرگ و همکاران پیدایش فسیل *Spiroclypeus blankenhorni* در آشکوب شاتین می‌باشد. این فسیل در چاه هالگان به سن الیگوسن یافت شده است. همچنین لارسن و همکاران و اهرنبرگ و همکاران پیدایش فسیل *Miogypsina* را در پایان آشکوب شاتین معرفی کردند. در حالی که پیدایش این فسیل قبلاً در قاعده میوسن در نظر گرفته می‌شد. در برش چاه هالگان ظهور این جنس در میوسن پیشین می‌باشد.

روزنبران شناسایی شده در برش چاه هالگان

Order: FORAMINIFERA Eichwald, 1830

Suborder: TEXTULARIINA Delag & Herouard, 1896

Superfamily: AMMODISCACEA Reuss, 1862

Family: AMMODISCIDAE Reuss, 1862

Subfamily: AMMOVERTELLININAE Chernykh, 1967

Genus: GLOMOSPIRA Rzehak, 1885

Species: *Glomospira* sp.

Suborder: MILIOLININA Delage and Herouard, 1896

Superfamily: MILIOLACEA Ehrenberg, 1839

Family: MILIOLIDAE Ehrenberg, 1839

Genus: SCHLUMBERGERINA Munier and Chalmas, 1882

Species: *Schlumbergerina* sp.

Genus: QUINQUOLOCULINA d'Orbigny, 1826

Species: *Quinquloculina* sp.

Family: HAVERINIDAE Schwager, 1876

Subfamily: MILIOLINELLINAE Vella, 1957

Genus: PYRGO Defrace, 1824

Species: *Pyrgo* sp.

Species: *Peneroplis thomasi* Henson, 1950

1950 *Peneroplis thomasi* Henson, p. 36, pl. 5, figs. 7-11.

1967 *Peneroplis thomasi* Henson; Adams & Bourgeois, p. 20, pl. 2, fig. 4b.

Family: MEANDROPSINIDAE Herson, 1948

Genus: *MEANDROPSINA* Munier- Chalmas, 1898

Species: *Meandropsina anahensis* Henson, 1950

1950 *Meandropsina anahensis* Henson , p. 57, pl. 6, figs. 4-9 ; pl. 8, fig. 10, pl. 9, fig. 4.

1967 *Meandropsina anahensis* Henson; Adams & Bourgeois, p. 21, pl. 2, figs. 3,4, 13a.

1986 *Meandropsina anahensis* Henson; Kalantari, p. 281, pl. 135, fig. 13.

2004 *Meandropsina anahensis* Henson; Daneshian & Deziani, p. 4580, pl. 4, fig. 2.

Species: *Meandropsina iranica* Henson, 1950

1950 *Meandropsina iranica* Henson, pl. 6, figs. 10,11, pl. 10, fig. 4,5,7,9,10.

1967 *Meandropsina iranica* Henson; Adams & Bourgeois, p. 21, pl. 2, fig. 13.

1986 *Meandropsina iranica* Henson; Kalantari, p. 232, Text-fig. 99.

2004 *Meandropsina iranica* Henson; Daneshian & Deziani, p. 4580, pl. 4, fig 3.

Genus: *SPIROLINA* Lamarck, 1804

Species: *Spirolina cylindracea* Lamarck,1804

1804 *Spirolina cylindracea* Lamarck, p.245, pl.62, fig. 15.

1950 *Spirolina* sp.cf.S. *cylindracea* Lamarck; Henson, p. 31, pl. 8, fig. 11.

Subfamily: *ARCHAIASINAE* Chushman, 1927

Genus: *ARCHAIAS* de Montfort, 1808

Species: *Archaias* sp.

Suborder: GLOBIGERININA Delonge and Herouard, 1896

Superfamily: GLOBOROTALIACEA Cushman, 1927

Family: GLOBOROTALIIDAE Cushman, 1927

Genus: *GLOBOROTALIA* Cushman, 1927

Species: *Globorotalia archeomenardii* Bolli, 1957

1957 *Globorotalia archeomenardii* Bolli, p. 119, pl. 28, figs. 11a-c.

1971 *Globorotalia archeomenardii* Bolli; Postuma, pp. 316-317.

Genus: *PARAGLOBOROTALIA* Cifelli, 1982

Species: *Paragloborotalia siakensis* (Leroy)

1939 *Globorotalia siakensis* Leroy, p. 262, pl. 4, figs. 20-22.

1971 *Globorotalia siakensis* Leroy; Postuma, pp. 358-359.

1985 *Paragloborotalia siakensis* (Leroy); Bolli & Saunders, p. 39, pl. 3, figs. 30-31.

Genus: TURBOROTALIA Cushman, 1949

Species: *Turborotalia centralis* (Cushman and Bermudez)

1937 *Globorotalia centralis* Cushman & Bermudez, p. 26, pl. 2, figs. 62-65.

1971 *Globorotalia centralis* Cushman & Bermudez; Postuma, pp. 182-183.

1985 *Turborotalia centralis* (Cushman & Bermudez); Bolli & Saunders, p. 136, figs. 34, 5-8.

Species: *Turborotalia cerroazulensis* Cole

1928 *Turborotalia cerroazulensis* Cole, p. 217, pl. 32, figs. 11-13.

1971 *Turborotalia cerroazulensis* Cole; Postuma, pp. 184-185.

Species: *Turborotalia ampliapertura* (Bolli)

1957 *Globorotalia ampliapertura* Bolli, p. 108, pl. 22, figs. 4a-7b.

1971 *Globorotalia ampliapertura* Bolli; Postuma, pp. 142-143.

1985 *Turborotalia ampliapertura* (Bolli); Bolli& Saunders, p. 164, fig.14, 1-3G.

Family: CATAPSYDRACIDAE Bolli, Loeblich and Tappan, 1957

Genus: *CATAPSYDRAX* Bolli, Loeblich and Tappan, 1957

Species: *Catapsydrax dissimilis* Cushman and Bermudez, 1937

1937 *Catapsydrax dissimilis* Cushman and Bermudez, p. 25, pl. 3, figs. 4-6.

1971 *Catapsydrax dissimilis* Cushman and Bermudez; Postuma, pp. 256-257.

Genus: *DENTOGLOBIGERINA* Blow,1979

Species: *Dentoglobigerina yeguaensis* Weinz and Applin, 1929
 1929 *Dentoglobigerina yeguaensis* Weinz and Applin, p. 408, pl. 43, figs. 1a-b.
 1971 *Dentoglobigerina yeguaensis* Weinz and Applin; Postuma, pp. 163-164.

Superfamily: HANTKENINACEA Cushman, 1927

Family: HANTKENINIDAE Cushman, 1927

Genus: HANTKENINA Cushman, 1924

Species: Hantkenina sp.

Family: CASSIGERINELLIDAE Bolli and Loeblich and Tappan, 1957

Genus: CASSIGERINELLA Pokorny, 1955

Species: *Cassigerinella chipolensis* Cushman and Ponton, 1932

1932 *Cassigerinella chipolensis* Cushman and Ponton, p. 98, pl. 15, figs. 2a-c.

1955 *Cassigerinella boudecensis* Pokorny, p. 136, text-figs. 1-3.

1971 *Cassigerinella chipolensis* Cushman and Ponton; Postuma, pp. 254-255.

Superfamily: GLOBIGERINACEA Carpenter, Parker and Jones, 1862

Family: GLOBIGERINIDAE Carpenter, Parker and Jones, 1862

Subfamily: GLOBIGERININAE Carpenter, Parker and Jones, 1862

Genus: GLOBIGERINA d'Orbigny, 1826

Species: *Globigerina praebulloides* Blow, 1959

1959 *Globigerina praebulloides* Blow, p. 180, pl. 8, figs. 47a-c.

1971 *Globigerina praebulloides* Blow; Postuma, pp. 268-269.

1983 *Globigerina praebulloides* Blow; Kennett & Srinivasan, p. 37, pl. 6, figs. 1-3.

Species: *Globigerinoides subquadrata* Bronnimann, 1954

1954 *Globigerinoides subquadrata* Bronnimann, p. 680, pl. 1, figs. 8a-c.

1971 *Globigerinoides subquadrata* Bronnimann; Postuma, pp. 306-307.

Genus: GLOBOTURBOROTALIA Hofker, 1976

Species: *Globoturborotalia angulisuturalis* Bolli

1957 *Globoturborotalia angulisuturalis* Bolli, p. 109, pl. 22, figs. 11a-c.

1971 *Globoturborotalia angulisuturalis* Bolli; Postuma, pp. 260-261.

Species: *Globoturborotalia ouchitaensis* Howe and Wallace, 1932

1932 *Globoturborotalia ouachitaensis* Howe and Wallace, p. 74, pl. 10, figs. 7a-b.

1971 *Globoturborotalia ouachitaensis* Howe and Wallace; Postuma, pp. 152-153.

Family: HASTIGERINIDAE Bolli, Loeblich and Tappan, 1957

Genus: HASTIGERINA Thomson, 1876

Species: *Pseudohastigerina micra* (Cole)

1927 *Pseudohastigerina micra* (Cole), XIV(51): 22, pl. 5, fig. 12.

1971 *Hastigerina micra* (Cole); Postuma, pp. 228-229.

1985 *Pseudohastigerina micra* (Cole); Bolli & Saunders, pp. 118-119, figs. 21, 1-8.

Superfamily: ACERVULINACEA Schultze, 1854

Family: ACERVULINIDAE Schultze, 1854

Genus: SPHAEROGYPSINA Galloway, 1933

Species: *Sphaerogypsina globulus* (Reuss)

1848 *Ceriopora globulus* Reuss, p. 33.

1933 *Sphaerogypsina globules* (Reuss); Galloway, p. 309.

1992 *Sphaerogypsina globules* (Reuss); Kalantari, p. 197.

Superfamily: ASTERIGERINACEA d'Orbigny, 1839

Family: ASTERIGERINIDAE d'Orbigny, 1839

Genus: ASTERIGERINA d'Orbigny, 1839

Species: *Asterigerina rotula* (Kaufmann), 1867

1867 *Hemistegina rotula* Kaufmann, p. 150, pl. 8, fig. 19 a-e.

1967 *Asterigerina rotula* (Kaufmann); Adams & Bourgeois, p. 30, pl. 5, fig. 3.

Family: AMPHISTEGINIDAE Cushman, 1927

Genus: AMPHISTEGINA d'Orbigny, 1826

Species: *Amphistegina* sp.

Superfamily: BULIMINACEA Jones, 1875

Family: REUSSELLIDAE Cushman, 1933

Subfamily: ANGULOGERININAE Galloway, 1933

Genus: *REUSSELLA* Galloway, 1933

Species: *Reussella* sp.

Superfamily: DISCORBACEA Ehrenberg, 1838

Family: DISCORBIDAE Ehrenberg, 1838

Genus: *DISCORBIS* Lamarck, 1804

Species: *Discorbis* sp.

Suborder: ROTALININAE Delage and Herouard, 1896

Superfamily: EOUVIGERINACEA Cushman, 1927

Family: EOUVIGERINIDAE Cushman, 1927

Genus: *EOUVIGERINA* Cushman, 1927

Species: *Eouvigerina khuzistanica* Thomas, 1950

1950 *Eouvigerina khuzestanica* Thomas, p. 296, pl. 1, fig.

9.

Superfamily: PLANORBULINACEA

Family: PLANORBULINIDAE Schwager, 1877

Subfamily: PLANORBULININAE Schwager, 1877

Genus: *PLANORBULINA* d' Orbigny, 1826

Species: *Planorbulina* sp.

Family: LEPIDOCYCLINIDAE Scheffen, 1932

Subfamily: LEPIDOCYCLININAE Scheffen, 1932

Genus: *EULEPIDINA* Douville, 1911

Species: *Eulepidina* sp.

Superfamily: ROTALIACEA Ehrenberg, 1839

Family: ROTALIIDAE Ehrenberg, 1839

Subfamily: ROTALIINAE Ehrenberg, 1839

Genus: *ROTALIA* Lamarck, 1804

Species: *Rotalia viennotti* Greig, 1935

1935 *Rotalia viennotti* Greig, p. 524, pl. 58, figs. 1-14.

1952 *Rotalia viennotti* Greig; Bermudez, p. 19.

1958 *Rarotlia viennotti* Greig; Reiss and Merling, p. 1, pl.

3, figs. 1-5.

1967 *Rotalia viennoti* Greig; Adams& Bourgeois, p.26, pl.4, fig.1.

1967 *Rotalia viennoti* Greig; Kalantari, p.220, fig.93.

1967 *Rotalia viennoti* Greig; Daneshian& Deziani, p. 4585, pl.5, fig.4.

1991 *Neorotalia viennotti* (Greig); Hottinger, Haliez and Reiss, p. 27, figs. 8-122.

Subfamily: AMMONIINAE Saidova, 1981

Genus: *Ammonia* Brunnich, 1772

Species: *Ammonia beccari* (Linne).

1858 *Nautilus beccari* Linne, p. 71.

1943 *Streblus beccari* (Linne); Ishizaki, Taiwan Tigaku Kizi, p. 53, pl. 1, fig. 6.

1961 *Rotalia beccari* (Linne); Huang, p. 68, figs. 1-12.

1987 *Ammonia beccari* (Linne); Papp & Schmid, pl. 61, figs. 1-5.

Subfamily: ELPHIDIINAE Galloway, 1933

Genus: *ELPHIDIUM* de Montfort, 1808

Species: *Elphidium* sp.14 (Thomas)

1949 *Rotalia* sp.14, Thomas, M.I. S, Type collection

1967 *Elphidium* sp.14, (Thomas); Adams & Bourgeois, p. 26, pl. 4, figs. 4,5.

Species: *Elphidium* sp.

Family: MIOGYSINIDAE Vaughan, 1928

Genus: *MIOGYSINA* Sacco, 1893

Species: *Miogysina* sp.

Family: NUMMULITIDAE Lamarck, 1801

Subfamily: CYCLOCYPEINAE d' Orbigny, 1826

Genus: *HETEROSTEGINA* d' Orbigny, 1826

Species: *Heterostegina* sp.

Subfamily: NUMMULITINAE Lamarck, 1801

Genus : *NUMMULITES* Lamarck, 1801

Species : *Nummulites globulus* Leymerie, 1846

1846 *Nummulites globulus* Leymerie, p. 128, pl. VII, figs. 13-17b.

1965 *Nummulites globulus* Leymerie; Bozorgnia; Kalantari, p. 10, pl. III, figs. 5-10.

1972 *Nummulites globulus* Leymerie; Blondeau, p. 142, pl. XVII, figs. 5-14.

Species: *Nummulites intermedius* (D' Archiac), 1846

1846 *Nummulites intermedia* D' Archiac, p.416, pl.9, figs.23-24.

1911 *Nummulites intermedius* (D' Archia); Boussac, p. 84, pl. 1, figs. 4-5; pl.2, fig.12; pl.4, fig.3.

1961 *Nummulites intermedius* (D' Archia); Montanari, p. 577, pl. II, figs. 10-12.

شناسایی شد و ۵ بیوزون معرفی شده است که قابل انطباق با بیوزون‌های ۵۵، ۵۶، ۵۷ و ۶۳ وايند می‌باشد که از رسوبات قدیمی‌تر به جدیدتر عبارتند از:

1- small *Globigerina* spp. assemblage zone(no.55)
2- *Lepidocyclina* – *Operculina* – *Ditrupa* assemblage zone(no.56)

3- *Nummulites intermedius* – *Nummulites vascus* assemblage zone(no.57)

4-*Astrotrillina* *asmariensis*- *Peneroplis evolutus* assemblage zone(no.59)

5-*Rotalia* – *Elphidium* assemblage zone (no.63)

– رسوبات الیگومن- میوسن زیرین در چاه هالگان از سنگ‌های آهک رسی به همراه دولومیت و با میان لایه‌های مارن و ژیپس مت Shankل از سه سازند پابده، آسماری و گچساران می‌باشد. سازند پابده در این چاه از ۳۲۰ متر سنگ آهک و سنگ آهک‌های رس دار با میان لایه‌های مارن تشکیل شده که این ۹۲ متر از این سازند متعلق به الیگومن زیرین و دارای بافت پکستون می‌باشد. با مطالعه روزنبران پلانکتونیک سازند پابده در چاه هالگان و مقایسه آن با بیوزوناسیون وايند (Wynd, 1965) و آدامز و بوژوا (Adams & Bourgeois, 1967) مشخص گردید که این نهشته‌ها منطبق بر بیوزون شماره ۵۵ وايند و ۴ آدامز و بوژوا می‌باشد. این بیوزون ۱۷ متر از ستون چینه‌شناسی چاه هالگان را در بر می‌گیرد. مرز زیرین این بیوزون با ناپدید شدن جنس‌هایی نظیر- *Hantkeni* و گونه‌هایی از جمله *Turborotalia cerroazulensis* و مرز *Nummuliter vascus*, *Nummulites inter-* *meadius*- *fichteli* مشخص می‌شود. سازند آسماری با ضخامت ۱۶۹ متر سنگ آهک‌های رس دار با میان لایه‌های دولومیت حاوی روزنبران کف‌زی بوده و متعلق به الیگومن تا میوسن پیشین (اکیتانی) است. لازم به ذکر است که در این برش بخش مربوط به آسماری بالایی مشاهده نمی‌شود. سازند گچساران نیز در چاه هالگان، از ۱۵۳ متر سنگ آهک‌های ضخیم لایه و مارن‌های قرمز و خاکستری پر فسیل تشکیل شده و شامل دو بخش چمپه و مول می‌شود. ۸۷ متر ابتدای سازند گچساران در چاه هالگان از سنگ آهک با میان لایه‌هایی از مارن تشکیل شده که از نظر خصوصیات سنگ‌شناسی معرف بخش چمپه از سازند گچساران است. همچنین ۶۶ متر ادامه سازند گچساران شامل مارن‌های قرمز با میان لایه‌هایی از سنگ آهک رس دار به همراه ژیپس می‌باشد که خصوصیات سنگ‌شناسی این بخش نیز معادل بخش مول از سازند گچساران است. بنابراین ضخامت کل نهشته‌های الیگومن در این برش ۲۰۶ متر و ضخامت نهشته‌های میوسن زیرین ۲۰۸ متر می‌باشد.

– در برش چاه هالگان، مرز اثوسن بالایی با الیگومن پیوسته و تدریجی در عمق ۱۴۷۴ متری بوده است. بررسی رخساره‌های چاه هالگان حاکی از عمیق بودن دریای اوسن- الیگومن در این

1967 *Nummulites intermedius* (D'Archia); Adams & Bourgeois, p. 27, pl. 4, figs. 8-9.

Species :*Nummulites fichteli* (Michelotti), 1841

1841 *Nummulites fychteli* Michelotti, p.44, pl.3, fig.7.

1848 *Nummulites garanciana* Michelotti ; Joly& Leymerie, p.38, pl. 1, figs.9-12 ; pl. 2, fig. 8.

1967 *Nummulites fichtelli* (Michelotti); Adams & Bourgeois, p. 27, pl. 4, figs. 8-9.

1976 *Nummulites fichtelli* (Michelotti); Sirel& Gondus, p. 157, pl. 2, figs. 1-6,9.

1981 *Nummulites fichtelli* (Michelotti), Schaub, p.128, pl.50, figs. 5-18.

Species: *Nummulites vascus* (Joly and Leymerie),1848

1848 *Nummulites vasca* Joly & Leymerie, p. 38, pl. 1, figs. 15-17; pl. 2, fig.7.

1911 *Nummulites vasca* (Joly & Leymerie); Boussac, p. 35, pl. III, figs. 17-18.

1967 *Nummulites vascus* (Joly & Leymerie); Adams & Bourgeois, p. 27, pl. 4, figs. 6-7.

1976 *Nummulites vascus* (Joly & Leymerie); Sirel & Gunduz, p. 157, pl. II, figs. 7,8,10-12, pl. III, figs. 1-9.

Genus: *OPERCULINA* d' Orbigny, 1826

Species: *Operculina complanta* (De France)

1822 *Lenticulites complanata* De France. p. 453

1826 *Operculina complanata* (De France); d'Orbigny, p. 281, pl. XIV, figs. 7-10.

1967 *Operculina complanata* (De France); Adams & Bourgeois, p. 28, pl. 5, fig. 1.

1992 *Operculina complanata* (De France); Kalantari, p. 188, pl. 6.fig. 74.

Genus: *SPIROCLYPEUS* Douville, 1905

Species: *Spiroclypeus blankenhorni* Henson

1937 *Spiroclypeus blankenhorni* Henson, p. 50, pl. 3.

1967 *Spiroclypeus blankenhorni* Adams & Bourgeois, p. 29, pl. 5, figs. 2-9.

نتیجه‌گیری

پس از مطالعه و بررسی نهشته‌های الیگومن و میوسن زیرین در برش چاه هالگان با ضخامت ۴۱۴ متر نتایج زیر به دست آمد.

– از ۴۱۴ نمونه مقطع نازک مورد مطالعه در برش چاه هالگان، ۳۲ جنس و ۴۸ گونه روزنبران کف‌زی و ۱۳ جنس و ۲۱ گونه روزنبران پلانکتونیک و قطعات جلبک و ماکروفسیل‌های مختلف

1-101.

- Ehrenberg, S.N., Pickard, N.A.H., Laursen, G.V., Monibi, S., Mossadegh, Z.K., Svana, T.A Aqrabi, A.A.M., McArthur, J.M., Thirlwall, M., 2007. Strontium isotope stratigraphy of the Asmari Formation (Oligocene-Miocene), SW Iran. *Journal of Petroleum Geology*, 30(2), 107-128.
- Favre, G., 1975. Structures in the Zagros Orogenic Belt, Report, 1233.
- Furun, R., 1941: Geologie de plateau Iranian (Persia-Afghanistan-Beloutchistan). 7, 2, 177-411.
- Hamedani, A., Torabi, H., Piller, W., Mandic, O., Steininger, F.F., Wielandt, U., Harzhauser, M., Nebelshck, L.H. and Schuster, F., 1997. Oligocene/Miocene section from Zagros foreland basin of central Iran. *Regional Meeting of Sedimentol.*, 155-156, Heidelberg.
- Jalali, M.R., 1987. Stratigraphy of Zagros Basin. National Iranian Oil Company, Report, 1249 and 1072.
- James, G. A. and Wynd, J. G., 1965. Stratigraphic nomenclature of Iranian Oil Consortium Agreement area. *Bulletin* 49, 2182-2245.
- Kalantari, A., 1981. Iranian fossil. National Iranian Oil Company, 9.
- Laursen, G.V., Monibi, S., Allen, T.L., Pickard, N.A.H., Hoseini, A., Vincent, B. and Van Buchem, F.S.P., 2009. The Asmari Formation revisited: Changed stratigraphic allocation and new Biozonation. International Shiraz Petroleum Conference and Exhibition, 4-6 May.
- Pilgrim, G.E., 1908. The geology of the Persian Gulf and the adjoining portion of Persia and Arabia. 24, 4, 1-177.
- Postuma, J.A., 1971. Manual of Planktonic Foraminifera, Elsevier Publishing Company, Amsterdam, 420.
- Reichel, M., 1937. Observation sur le genre *Loftusia*. 118, 142-143.
- Richardson, R.K., 1924. The geology and oil measures of southwest Persian; Journal Institute Petroleum Technology. 10, 43, 256-296.
- Setudehnia, A., 1972. Iran du sud-ouest; Lexique stratigraphique international, III(2) CNRS, Paris.
- Seyrafian, A., 1981, Geological study of Siah Makan Field (Asmari Formation). National Oil Company, Report, 3745.
- Seyrafian, A., Vaziri, H. and Torabi, H., 1996. Biostatigraphy of the Asmari Formation, Burujen area. 7,

محدوده است. مرز بین سازند آسماری و سازند گچساران در پرش چاه هالگان از نوع ناپیوستگی فرسایشی می باشد. در این چاه، آسماری بالایی و همچنین بخش چهل از سازند گچساران وجود ندارد و بخش چمپه از سازند گچساران مستقیماً بر روی رسوبات سازند آسماری میانی قرار گرفته است.

منابع

- اطلس راههای ایران، ۱۳۸۶. مؤسسه جغرافیایی و کارتوگرافی گیتاشناسی ایران.
- دانشیان، ج.، خسرو تهرانی، خ.، قیوم‌آبادی، ا و حسین‌زاده، م.، ۱۳۸۶. میکروبیواستراتیگرافی نهشته‌های سازند آسماری در پرش علمدار، شمال شرق بهبهان. *مجله علمی پژوهشی علوم پایه دانشگاه آزاد اسلامی*، ۶۵، ۱۲۷ - ۱۵۱
- زاهدی‌نژاد، ج.، ۱۳۶۶. مطالعه زمین‌شناسی عضو ماسه‌سنگی اهواز در منطقه جنوب غرب حوضه آسماری، گزارش زمین‌شناسی شماره ۴۰۲۸، شرکت ملی نفت ایران.
- مطیعی، ه.، ۱۳۷۲. چینه‌شناسی زاگرس. سازمان زمین‌شناسی کشور، طرح تدوین.

- Adams, T.D., 1969. The Asmari Formation of Lurestan and Khuzestan provinces. *Iranian Oil Operation Companies, Geological and Exploration Division. Report*, 1154.
- Adams, T.D., and Bourgeois, F., 1967. Asmari biostratigraphy, *Iranian Oil Operation Companies, Geological and Exploration Division. Report*, 1074.
- Blow, W. H., 1969. Late Middle Eocene to Recent planktonic foraminiferal biostratigraphy. *Proceedings First International conference on Planktonic Microfossils Geneva*, 1967, 1, 199-422.
- Bolli, H.M. and Bermudez, P.J., 1965. Zonation based on planktonic foraminifera of Middle Miocene to Pliocene warm-water sediments. *Bulletin informative. Asociacion Venezolana de Geologia, Mineray Petroleum*, 8(5), 119-49.
- Bolli, H.M. 1957. Planktonic foraminifera from the Oligocene- Miocene Cipero and Lengua formations of Tiranidad. 215, 97-123.
- Bolli, H.M. and Saunders, J.B., 1987. Oligocene to Holocene low latitude Planktic foraminifera, in: *Plankton stratigraphy*, Hans M. Bolli, John B. Saunders, Katharina Perch-Nielson(Eds), Cambridge University Press.
- Busk, H.G. and Mayo, H.T., 1919. Some notes on the geology of the Persian Oilfield. *Journal Institut Petroleum Tecnology*, 5, 5-26.
- Clapp, F.G., 1940. Geology of eastern Iran, 51(1),

1, 31-47.

- Seyrafian, A. and Hamedani, A. 1998. Microfacies and depositional environment of the upper Asmari Formation (Burdigalian), North-Central Zagros Basin, Iran. Neues Jahrbuch für Geologie und Paleontologie Abhandlungen, 210(2), 129-414.
- Thomas, A.N., 1948. The Asmari Limestone of southwest Iran, Report, 706.

- Watson, S.E., 1960. Revision of the lower Fars key beds in the Gachsaran field. Report , 946.

- Wells, A.J., 1967; Lithofacies and geological history of lower Tertiary sediments in Southwest Iran, Report, 1120.

- Wynd, J.G., 1965. Biofacies of Iranian Oil Consortium Agreement Area, Iranian Oil Company, Report, 1082.